

ФАЗОВАЯ *pT*-ДИАГРАММА ПРОТОННОГО СУПЕРИОННОГО ПРОВОДНИКА CsHSO₄

Понятовский Е.Г., Ращупкин В.И., Синицын В.В.,
Баранов А.И., Шувалов Л.А., Щагина Н.М.

Исследовано влияние гидростатического давления до 2,0 ГПа на протонную проводимость и фазовые переходы в кристалле CsHSO₄. Обнаружен ряд фаз высокого давления, в том числе – две суперионные.

Недавно было установлено, что ряд кристаллов семейства щелочных гидросульфатов и гидроселенатов обнаруживают фазовые переходы в суперионное состояние ^{1–3}. Ответственными за проводимость в этих кристаллах являются протоны, а резкое (на несколько порядков) увеличение ее в суперионной фазе, по-видимому, обусловлено разупорядочением системы водородных связей, в результате чего протоны получают возможность трансляционного движения с низкой энергией активации ($\sim 0,33$ эВ) ^{2–4}. Данные оптических ⁵ и нейтронографических ⁶ исследований указывают на значительную лабильность структуры суперионной и низкопроводящих фаз. В этой связи особый интерес представляют исследования влияния гидростатического давления на устойчивость суперионного состояния и протонную проводимость в суперионных кислых сульфатах.

В настоящей работе исследована фазовая *pT*-диаграмма CsHSO₄ в интервале температур $20 \div 200^\circ\text{C}$ и гидростатических давлениях до 2 ГПа. Изотермические и изобарические зависимости проводимости измерялись на пластинках α -резе на частоте 20 кГц. В качестве электродов использовалась серебряная паста "Дегусса". Фазовые переходы также регистрировались методами ТА и пьезометрии.

При атмосферном давлении и температурах $T \lesssim 60^\circ\text{C}$ в CsHSO₄ стабильной является низкопроводящая γ -фаза ($\sigma_\alpha \sim 10^{-8} \div 10^{-6} \text{ Ом}^{-1} \cdot \text{см}^{-1}$). При $T \approx 60^\circ\text{C}$ происходит фазовый переход в другую низкопроводящую фазу β , а при $T = 139^\circ\text{C}$ – переход в суперионную фазу α ^{1, 2}. Суперионный фазовый переход $\beta \leftrightarrow \alpha$ является переходом первого рода ¹ с незначительным температурным гистерезисом (порядка 4°) и сопровождается большим изменением энтропии $\Delta S_{\beta\alpha} = 11,01 \text{ Дж/моль} \cdot \text{град}$ ⁷.

При давлениях $P \lesssim 1,1 \text{ ГПа}$ вид зависимостей $\sigma_\alpha(T)$ практически не изменяется (рис. 1, кривая 1), а $T_{\alpha\beta}$ незначительно повышается с давлением (рис. 2) ($dT_{\alpha\beta}/dP = 5 \pm 3 \text{ град/ГПа}$). Изменение объема при этом фазовом переходе рассчитанное по формуле Клайперона – Клаузиуса, оказывается необычно малым ($\Delta V_{\alpha\beta}/V_\beta \approx 0,08\%$). При $P > 1,1 \text{ ГПа}$ линия переходов $\alpha \leftrightarrow \beta$ расщепляется с появлением промежуточной суперионной фазы α_1 (рис. 2) с несколько меньшей, чем в α -фазе проводимостью σ_α (рис. 1, кривая 2) и большей энергией активации. По предварительным результатам активационный объем протонов в α - и α_1 -фазах существенно различен: $0,1 \div 1 \text{ см}/\text{моль}$ в α -фазе и $7 \div 9 \text{ см}^3/\text{моль}$ в α_1 -фазе. Этот факт указывает на то, что для подвижных протонов активационный объем является

эффективной величиной и определяется не ионным радиусом, а релаксацией окружающих его ионов. При $P > 1,75$ возникает еще одна суперионная фаза α_2 , проводимость которой лишь незначительно меньше, чем α -фазы (рис. 1, кривая 3 и рис. 2).

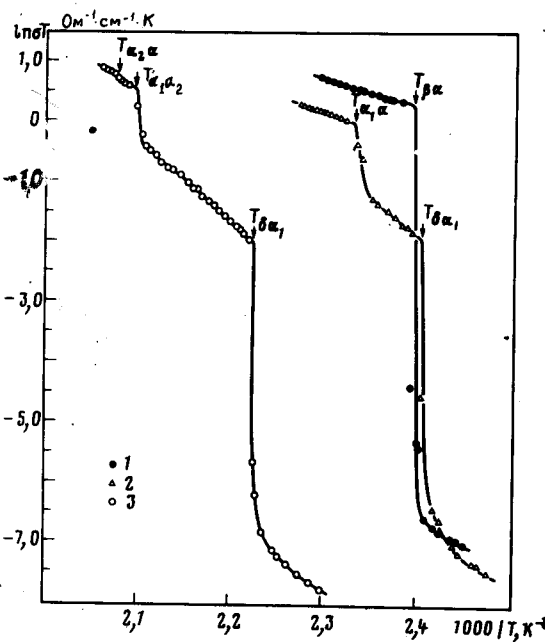


Рис. 1

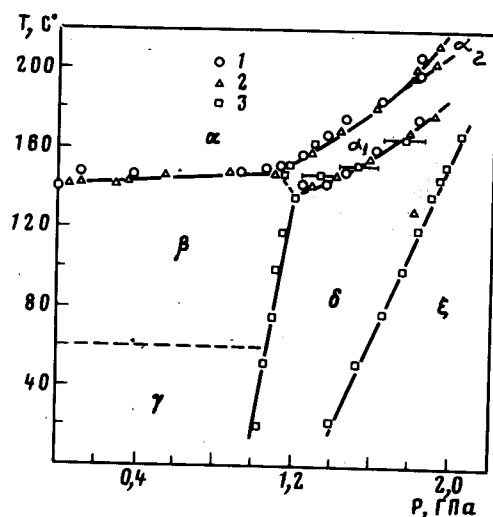


Рис. 2

Рис. 1. Изобарические зависимости $\ln\sigma_\alpha T = f(1/T)$ в кристалле CsHSO_4 : 1 – $P = 0,39 \text{ ГПа}$; 2 – $P = 1,21 \text{ ГПа}$; 3 – $P = 1,79 \text{ ГПа}$

Рис. 2. Фазовая PT -диаграмма кристалла CsHSO_4 , построенная по данным: 1 – проводимости, 2 – ДТА, 3 – пьезометрии

Давления $P \geq 1 \text{ ГПа}$ индуцируют также новые полиморфные модификации (фазы δ , ξ на рис. 2) с низкой проводимостью $\sigma_\alpha < 10^{-7} \text{ Ом}^{-1} \cdot \text{см}^{-1}$. Фазовые переходы $\beta \leftrightarrow \delta$ и $\delta \leftrightarrow \xi$ сопровождаются значительно большими изменениями объема ($\Delta V_{\beta\delta} / V_\beta = 2,0 \pm 0,1\%$ и $\Delta V_{\delta\xi} / V_\xi = 0,9 \pm 0,1\%$), но более слабыми тепловыми эффектами, чем при суперионном $\beta \leftrightarrow \alpha$ переходе. Как уже указывалось ранее^{1, 6}, фазовый переход $\gamma \leftrightarrow \beta$ характеризуется замедленной кинетикой. Поэтому повторные циклы нагревания и охлаждения не позволяли надежно определить смещение этого перехода с давлением. Предполагаемая линия переходов $\gamma \leftrightarrow \beta$ дана на PT -диаграмме штриховой линией (рис. 2).

Многообразие фаз с различной протонной проводимостью по-видимому можно объяснить открытой структурой CsHSO_4 , в которой возможно не только упорядочение протонов на коротких водородных связях, но и перестройкой или разупорядочением самой системы этих связей. Учитывая, что все кристаллы группы с общей формулой MeHAO_4 ($\text{Me} = \text{Cs}, \text{Rb}, \text{NH}_4, \dots, \text{Pb}$, $\text{A} = \text{S}, \text{Se}, \dots, \text{P}$) имеют подобные структурные мотивы, наличие полиморфизма в суперионном состоянии можно ожидать и в остальных кристаллах этой группы.

Литература

1. Баранов А.И., Шувалов Л.А., Щагина Н.М. Письма в ЖЭТФ, 1982, 36, 381.
2. Баранов А.И., Fedosyuk R.M., Schagina N.M., Shuvalov L.A. Ferroelectrics Lett., 1984, 2, 25.
3. Москвич Ю.Н., Суховский А.А., Розанов О.В. ФТТ, 1984, 26, 38.
4. Blinc R., Dolinsek J., Lahajnar G., Zupancic I., Shuvalov L.A., Baranov A.I. Phys. Stat. Sol., b 1984, 123, K83.

5. Баранов А.И., Шувалов Л.А., Щагина Н.М. Кристаллография, 1984, 29, 1113.
6. Белушкин А.В., Вонцицки Я., Натконец И., Плакида Н.М., Шувалов Л.А. "Объединенный ин-т ядерн. исслед. Дубна, Сообщ." № Р14-83855, 1983.
7. Комике М., Osako T., Makita Y., Ozaki T., Itoh K., Nakamura E. J. Phys. Soc. J., 1981, 50, 3187.

Институт кристаллографии
Академии наук СССР

Поступила в редакцию
29 декабря 1984 г